

---

# KWW関数の計算方法について

---

June 23, 2000

by *Y. Amo, Ph.D.*  
*apj@atom.phys.ocha.ac.jp*

Typeset using L<sup>A</sup>T<sub>E</sub>X(Mac pT<sub>E</sub>X2.1.8)

KWW 緩和の式を用いてスペクトルのフィッティングを行うために、与えられたパラメータと周波数領域で normalize された KWW 緩和の値を計算するプログラムを作成した。KWW 緩和は無限級数または積分であらわされ、パラメータと周波数範囲によって異なった式を用いる必要があった。

まず、級数を用いて計算した。条件によって収束しないことがあったので、積分を数値的に異なった方法で行った。この結果 romberg 積分を行うと良いことがわかった。級数と積分のそれぞれ良い部分をつなぎ合わせることで KWW 緩和の計算式を作り、Igor で動作する XFUNC にまとめた。

## Contents

1	KWW 緩和の計算式	3
2	級数の計算	3
3	積分による評価	6
4	XFUNC の作成	6
5	テスト	7
6	主なプログラム	7

## 1 KWW 緩和の計算式

計算式は、"Further Cosiderations of Non Symmetrical Dielectric Relaxation Behaviour arising from a Simple Empirical Decay Function", G.Williams et.al, Trans. Faraday Soc., 67(1971), 1323-1335 に従った。

緩和時間の分布は、

$$\phi(t) = e^{-\left(\frac{t}{\tau_0}\right)^\beta} \quad (1)$$

で与えられる。ただし、 $0 < \beta \leq 1$  である。

このとき、誘電率  $\varepsilon^* = \varepsilon(\omega) - i\varepsilon(\omega)$  は、

$$\frac{\varepsilon^*(\varepsilon) - \varepsilon_\infty}{\varepsilon_0 - \varepsilon_\infty} = \int_0^\infty \left[ -\frac{d\phi(t)}{dt} \right] \exp(-i\omega t) dt \quad (2)$$

であらわされる。この積分は、 $\lambda = \tau_0^\beta$ 、 $s = \lambda_0 + i\omega$ 、 $\lambda_0 \approx 0$  とおくことで

$$\frac{\varepsilon^*(\varepsilon) - \varepsilon_\infty}{\varepsilon_0 - \varepsilon_\infty} = \beta\lambda \int_0^\infty [\exp(-st)] [\exp(-\lambda t^\beta)] t^{\beta-1} dt \quad (3)$$

のようにかきなおすことができる。また、級数の形でもあらわすことができ、

$$\frac{\varepsilon^*(\varepsilon) - \varepsilon_\infty}{\varepsilon_0 - \varepsilon_\infty} = \sum_{n=1}^{\infty} (-1)^{n-1} \frac{1}{(\omega\tau)^{n\beta}} \frac{\Gamma(n\beta+1)}{\Gamma(n+1)} \left[ \cos n\beta\frac{\pi}{2} - i \sin n\beta\frac{\pi}{2} \right] \quad (4)$$

と書ける。この級数が収束するのは、論文によれば、 $0 < \beta \leq 0.25$  かつ  $-4 \leq \log \omega\tau_0 \leq 4$  のときと、 $0.25 < \beta < 1.0$  かつ  $-1 \leq \log \omega\tau_0 \leq 4$  のときで、これ以外のときは、

$$\frac{\varepsilon^*(\varepsilon) - \varepsilon_\infty}{\varepsilon_0 - \varepsilon_\infty} = \sum_{n=1}^{\infty} (-1)^{n-1} \frac{(\omega\tau_0)^{n-1}}{\Gamma(n)} \Gamma\left(\frac{n+\beta-1}{\beta}\right) \left[ \cos(n-1)\frac{\pi}{2} + i \sin(n-1)\frac{\pi}{2} \right] \quad (5)$$

を用いたとある。また (3) 式は  $t \rightarrow 0$  で  $t^{\beta-1} \rightarrow \infty$  ( $0 < \beta < 1$ ) となる singularity を持つが、変数変換  $x = \lambda t^\beta$  により、積分範囲で解析的な形

$$\frac{\varepsilon^*(\varepsilon) - \varepsilon_\infty}{\varepsilon_0 - \varepsilon_\infty} = \int_0^\infty [\exp(-x)] \left[ \exp\left(-i\omega\tau_0 x^{1/\beta}\right) \right] \quad (6)$$

になおすことができる。

## 2 級数の計算

まず、論文中の  $\log(\omega\tau_0)$  が自然対数か常用対数か確認するため、(4) および (5) 式を用いて実部の計算を行った。

【結果】

この結果 (fig.2.1) と論文中の図を比較し、対数の底は 10 であることを確認した。fig.2.1 では、一部収束していない部分があった。

(4),(5) 式の収束性を確認するために、 $\log(\omega\tau_0)$  が  $\pm 4$  の範囲で、 $\beta$  の値を 0.1 から 1.0 まで 0.1 刻みに変化させて計算を行った (Fig.2.2)。計算で用いたプログラムは、IgorPro(WaveMetrics Inc.) の procedure として作成した。論文により、収束性のよいところでは  $n=10$  で収束している。計算では、念のため  $n=50$  とした。

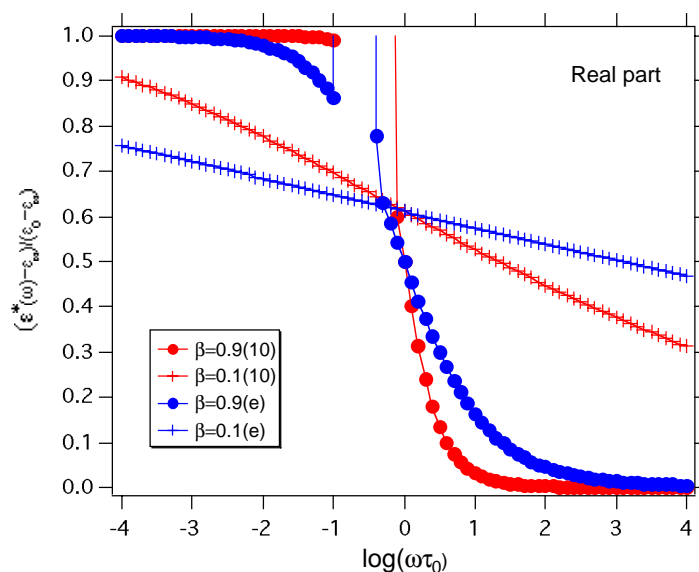


Figure 2.1: 対数の底の確認

級数中のガンマ関数は比の形で入っており、IgorPro にはガンマ関数の自然対数を求める関数が用意されている。このため、比の部分に対数の差にして、指数関数に代入することでガンマ関数の比の計算を行った。

#### 【結果】

級数が収束する範囲は論文の記述通りではなかった。どちらの級数も発散する領域が存在し、その領域は  $\beta$  に依存した。

$\beta=0.1$  と  $\beta=0.2$  では、計算範囲で (5) の級数が収束し、論文の図とほぼ同じ値になった。このことから、 $\beta$  が 0.2 以下では級数を使うだけでよいと考えられる。

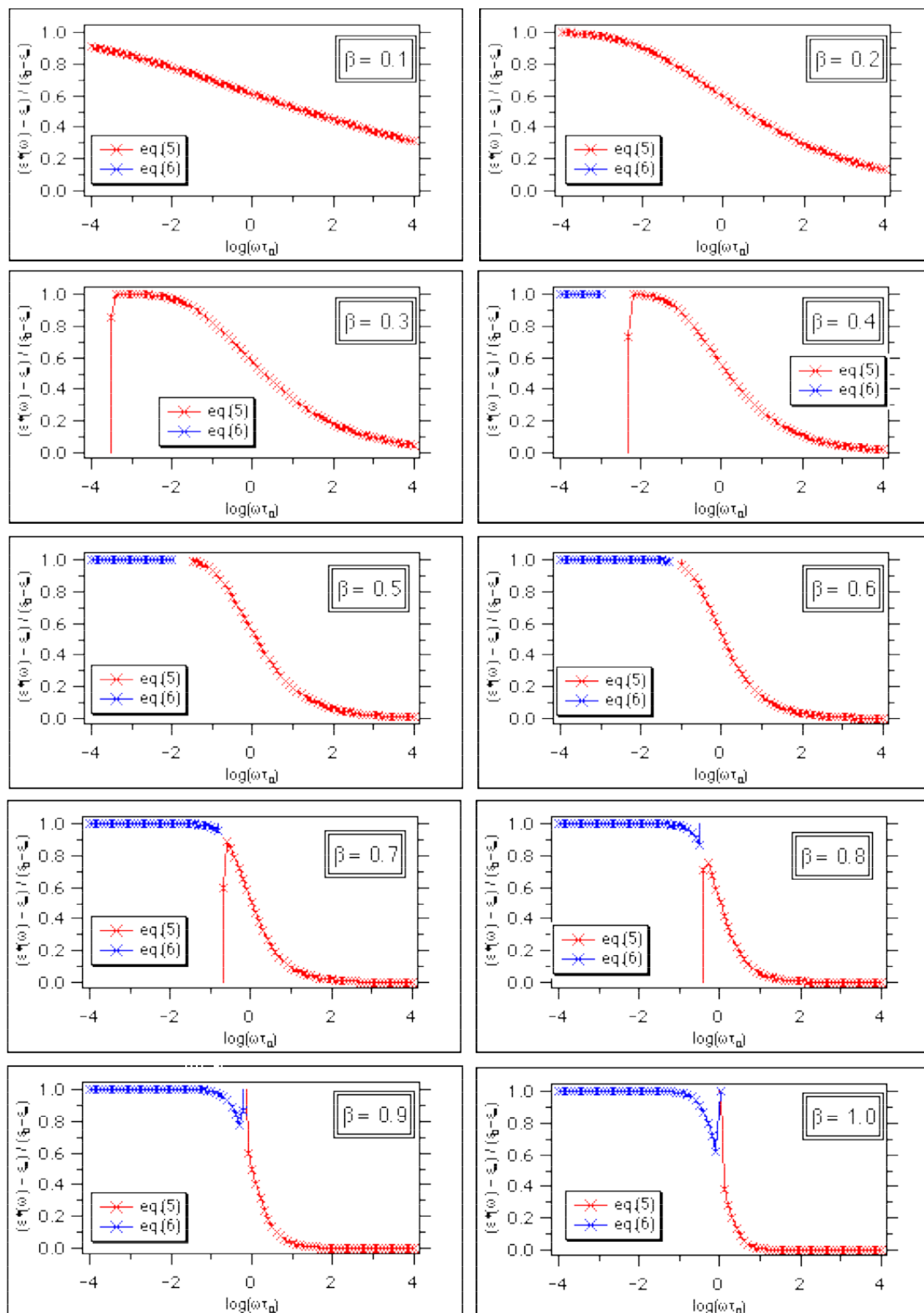


Fig.2 級数の収束

Experiment name: KWW.org 1

Figure 2.2: 収束性の確認

### 3 積分による評価

級数の計算で発散する領域をなくすために、(6) 式の積分を数値的に行った。計算方法は Simpson's Method, Romberg Integration (分割数  $(\frac{2}{3}) \times 3^{n-1}$  および通常の分割) の3つを試した。それぞれ、Numerical Recipes のルーチンをそのまま用いた。計算の精度は、すべて  $EPS = 1.0e-5$  で行った。積分範囲は、 $x$  が 0 から 5 までと、0 から 50 までの2通りで行った。計算値を級数で求めた値に重ねて表示して収束性を確認した。計算は、 $\log(\omega\tau_0)$  が  $\pm 4$  の範囲で、 $\beta$  が 0.2 から 1.0 まで 0.1 きざみで行った。

プログラムの構成

Simpson's Method	simp.c, QSIMP.C, TRAPZD.C	
romberg1	romberg1.c, QROMO.C, MIDPNT.C, POLINT.C	その他
romberg2	romberg2.c, QROMB.C, POLINT.C, TRAPZD.C	その他

※大文字のファイル名は、Numerical Recipes のものをそのまま用いている。

#### 【結果】

Simpson's Method は、収束する範囲が狭いうえに  $\beta$  が大きくなると計算時間がかかるようになり、値を計算できる範囲が少なかった。グラフにはあまり出ていないが、これは正しい値に重なっているというよりは、計算できている範囲が少ないのであまり見えないことによる。

Romberg Integration の収束性は良かったし、速やかに計算できる範囲も広がった。通常の刻み幅での積分 (romberg2) の方が計算結果の性質がよく、級数と同じ値に収束している。もっとも良かったのは、romberg2 で、 $x=50$  まで計算したものである。実用的な速度で結果が出ているのは、

$\beta$	$\log(\omega\tau_0)$
0.2	-2 以下
0.3	-1 以下
0.4	0 以下
0.5 以上	1 以下

である。収束はもうすこし広い範囲であった。

積分の収束範囲は級数の (5) 式よりも広いため の小さい領域では romberg2 の数値積分を行い、大きい領域では級数 (4) 式を使うのがよさそうである。

romberg2 がもっとも良かったが、 $\beta=0.2$  で実部がばらつくのと、 $\beta=0.4$  で  $\log(\omega\tau_0)=1.0$  の時の実部の値が変である。そこで QROMB.C 中の  $EPS$  の値を元の値  $1.0e-6$  に戻して計算し、 $1.0e-5$  のときより良い結果を得た。

### 4 XFUNC の作成

計算方法がほぼわかったので、 $\beta$  と  $\log(\omega\tau_0)$  の値に応じて、級数を使うか積分するかを決定し、KWW 関数の実部と虚部を計算する XFUNC を作った。処理の振り分けは以下のようにした。

$0 < \beta \leq 0.2$		級数
$0.2 < \beta \leq 0.3$	$\log(\omega\tau_0) < -2$	積分
	$\log(\omega\tau_0) \geq -2$	級数
$0.3 < \beta \leq 0.4$	$\log(\omega\tau_0) < -1$	積分
	$\log(\omega\tau_0) \geq -1$	級数
$0.4 < \beta \leq 0.5$	$\log(\omega\tau_0) < 0$	積分
	$\log(\omega\tau_0) \geq 0$	級数
$0.5 < \beta \leq 1.0$	$\log(\omega\tau_0) < 1$	積分
	$\log(\omega\tau_0) \geq 1$	級数

級数は  $n=50$  まで計算し、積分は Romberg Integration で  $\text{EPS}=1.0\text{e-}6$ 、 $x$  が 0 から 50 まで数値積分している。

## 5 テスト

- $\beta$  が 0.1 から 1.0 まで 0.1 おきに計算した。  
【結果】発散無し。論文と見た目が同じ
- $\beta$  の計算のときに、ZoneRanger により IgorPro 内のメモリの状況を監視した。  
【結果】繰り返し関数を呼び出したときにメモリリークが起きないことを確認した。
- 単一緩和のときの計算式の結果と  $\beta=1.0$  の時の結果を比較した。  
【結果】重ねて表示し、表示している線の幅以内で一致することを確認した。

## 6 主なプログラム

使用した Numerical Recipes のファイルリスト

---

QSIMP.C  
 QROMB.C  
 QROMO.C  
 MIDPNT.C  
 POLINT.C  
 TRAPZD.C  
 GAMMLN.C

---

”NUMERICAL RECIPES in C 2nd Ed.”, Press et.al, Cambridge Univ. Press, ISBN 0-521-43108-5

XFUNC のソースリスト

---

KWWXFUNC.r リソース  
 KWWXFUNC.h  
 KWWXFUNC.c XFUNC のエントリ部分  
 calcKWW.c  $\beta$  との値によって処理を振り分けて計算する

---

これに加えて、



---

QROMB.C	Romberg Integration
POLINT.C	補間
TRAPZD.C	積分の粗い値を出す
GAMMLN.C	ガンマ関数の対数を計算する

---

を使用している。